

## محتوای آب و تبادلات گازی سه ژنتیپ وحشی گلابی در شرایط تنفس آبی

تیمور جوادی<sup>۱\*</sup> - بهمن بهرامنژاد<sup>۲</sup>

تاریخ دریافت: ۸/۱۲/۱۹

تاریخ پذیرش: ۸/۸/۴

### چکیده

سه ژنتیپ گلابی (نازکه، لاسوره و کویله) کشت شده در گلدان های دو لیتری تحت چهار رژیم آبیاری به منظور بررسی محتوای نسبی آب برگ (RWC)، فتوسترن تبادلات گازی و وزن خشک گیاه تحت تنفس آبی قرار گرفتند. تیمار شاهد هر روز آبیاری شد. در تیمارهای تنفسی زمانیکه پتانسیل آب خاک به  $-0/4$ ،  $-0/8$  و  $-1/2$ - مگاپاسکال رسید، آبیاری شدند. همه صفات در طول تنفس آبی و دو روز بعد از آبیاری مجدد اندازه گیری شدند. RWC (۹۳/۹۵ درصد)، فتوسترن برگی ( $10/8$  میکرومول بر متر مربع در ثانیه)، هدایت روزنه ای ( $0/22$  مول بر متر مربع در ثانیه) و تعرق  $11/43$  مول بر متر مربع (درصد) در تیمار شاهد در بالاترین حد بود. اما گاز کربنیک زیر روزنه ای در تیمارهای تنفسی  $-0/8$  و  $-1/2$ - مگاپاسکال افزایش یافت و به ترتیب به  $265/2$  و  $265/7$  مول بر مول رسید. ژنتیپ کویله بالاترین مقدار RWC ( $80/66$  درصد) را نسبت به دیگر ژنتیپ ها در شرایط تنفس آبی داشت. RWC یک رابطه نزدیک با فتوسترن ( $R^2=0.89$ ) داشت. کاهش سرعت فتوسترن شد. فتوسترن برگ در همه ژنتیپ ها در تیمارهای تنفسی کاهش یافت و در تیمار شاهد،  $-0/4$  و  $-0/8$ - مگاپاسکال مقدار آن به ترتیب  $10/86$ ،  $10/55$  و  $10/14$  میکرومول بر متر مربع در ثانیه بود. فتوسترن و گاز کربنیک زیر روزنه ای به طور منفی با هم ارتباط داشتند ( $R^2=0.95$ ) سرعت فتوسترن با کاهش هدایت روزنه ای کاهش یافت و رابطه نزدیک بین آنها ( $R^2=0.93$ ) بیان می دارد که محدودیت روزنه ای مهمترین عامل کاهش فتوسترن در شرایط تنفس آبی است. همچنین مقدار وزن خشک در شرایط تنفس خشکی در ژنتیپ های مختلف کاهش یافت. اما در ژنتیپ کویله بین تیمار شاهد،  $-0/4$  و  $-0/8$ - مگاپاسکال تفاوت معنی داری مشاهده نشد. مقدار وزن خشک در ژنتیپ نازکه در ژنتیپ تنفس آبی در تیمار  $-0/4$ - مگاپاسکال کاهش یافت. تفاوت معنی داری ( $\alpha=0/5$ ) بین صفات اندازه گیری شده بعد از آبیاری مجدد بین همه تیمارها وجود نداشت. نتایج این تحقیق نشان داد که ژنتیپ کویله بعلت داشتن RWC بالا در طول تنفس خشکی و عدم کاهش وزن خشک در تیمارهای تنفسی  $-0/4$  و  $-0/8$ - مگاپاسکال نسبت به شاهد، از بقیه ژنتیپ ها تحمل بیشتری نسبت به شرایط خشکی دارد.

واژه های کلیدی: گلابی، تنفس آبی، فتوسترن، تبادل گازی

### ۱ مقدمه

شرایط کسر آب می باشد، که نتیجه آن کاهش هدایت روزنه ای و در نهایت کاهش میزان فتوسترن می باشد. محدودیت روزنه ای سبب کاهش میزان فتوسترن و غلظت  $CO_2$  در فضای بین سلولی برگ می شود، که به نوبه خود سبب جلوگیری از متabolism می شود (۱۹). هنگامیکه مقدار آب سلول از  $100$  درصد به  $75$  درصد کاهش می یابد، هدایت روزنه ای کاهش می یابد و در نتیجه فتوسترن کاهش می یابد. به طور کلی میزان فتوسترن بالقوه<sup>۱</sup> (حداکثر میزان فتوسترن تحت شرایط اشباع  $CO_2$  و نور و برگهای کاملا اشباع از آب) با مقدار آب سلول دو نوع رابطه کلی دارد که نوع<sup>۲</sup> و نوع<sup>۳</sup> نامیده می شوند.

تنفس آبی یکی از عمدۀ ترین عوامل محیطی محدود کننده تولید گیاهان در سرتاسر دنیاست (۴). تنفس آبی بر صفات رشدی، بیوشیمیایی، فیزیولوژیکی و تبادلات گازی در گیاهان تاثیر می گذارد (۸-۱۳). اولین نتایج فیزیولوژیکی تنفس آبی ملایم شامل کاهش توسعه سلولی، سنتز دیواره سلولی، سنتز پروتئین، بسته شدن روزنه ای و فتوسترن است. کاهش تدریجی مقدار آب سلولی منجر به کاهش میزان فتوسترن و در نهایت سبب توقف آن می شود (۲۰). یکی از عوامل مهم در کاهش فتوسترن بسته شدن روزنه ها در

۱- استادیار گروه علوم باگبانی، دانشکده کشاورزی، دانشگاه کردستان  
۲- نویسنده مسئول: javadi\_t@yahoo.com (Email):  
۳- استادیار گروه زراعت و اصلاح نباتات، دانشکده کشاورزی، دانشگاه کردستان

شاخص بهتری است. چون روزنه‌ها تعادل بین جریان خروجی و ورودی برگ را تنظیم می‌کنند و اندازه‌گیری مقدار آب نسبی برگ وضعیت روزنه‌ها را بهتر مشخص می‌کند (۲۴).

اثر تنش آبی و آبیاری مجدد بر روی پتانسیل آب برگ در نهال‌های چهار ساله گلابی آسیایی رقم هوشی<sup>۵</sup> بررسی شده است. نتایج نشان داد که پتانسیل آب برگ قبل از طلوغ آفتاب در طول دوره‌های خشک پایین رفت. اما هنگامیکه درختان آبیاری شدند، پتانسیل آب برگ به میزان قبل از تنش افزایش یافت. پتانسیل آب برگ در درختان تحت تنش خشکی به  $2/5 - 2/5$ - مگاپاسکال رسید. همچنین پتانسیل آب برگ در گیاهان شاهد در روزهایی که میزان تعرق زیاد بود به این حد رسید. آنها نتیجه گرفتند که پتانسیل آب برگ در صبح و عصر برای نشان دادن اختلاف پتانسیل آب برگ در گیاهان شاهد و تحت تنش مناسب‌تر است (۵).

بین مقدار آب نسبی برگ و پتانسیل آب برگ رابطه وجود دارد. در درخت زیتون بین مقدار آب نسبی برگهای و پتانسیل آب برگ قبل از طلوغ آفتاب از  $0 - 0/7$  تا  $0 - 0/96$  (۰.۹۶<sup>۲</sup>) وجود داشت (۱۴).

سرعت فتوستتر در دو گونه پسته چاتالانقوش (*Pistacia khinjuk*) و بنه (*P. mutica*) با افزایش تنش خشکی کاهش یافت (۲۱). سرعت فتوستتر و هدایت روزنه‌ای در سه گونه *Phillyrea Quercus ilex* و *Pistacia lentiscus datifolia* خشکی کمتر از شرایط بدون تنش بود (۱۵). با از دست رفتن رطوبت سرعت فتوستتر و هدایت روزنه‌ای در درختان نارنگی انشو (*Citrus unshiu* Marc.) به طور معنی داری کاهش می‌یابد (۲۵).

مطالعه درختان کشت شده زیتون در گلستان در شرایط تنش آبی نشان داد که هدایت برگی عامل محدود کننده فتوستتر بود (۲). همچنین مطالعاتی وجود دارد که نشان می‌دهد وضعیت آبی خاک در درختان زیتون نقش مهمی را در کنترل هدایت برگی بازی می‌کند (۱۶).

این مطالعه به منظور بررسی تغییرات محتوای نسبی آب برگ، فتوستتر و تبادلات گازی در سه ژنتیپ بومی استان کردستان در شرایط تنش آبی انعام گردید. نتایج این تحقیق به درک بهتر رفتار گیاه در شرایط تنش آبی به ما کمک می‌کند. این مطالعه به ما کمک می‌کند ژنتیپ‌هایی که مقاومت بهتری در شرایط خشکی دارند و شناسایی شوند و در آینده به عنوان پایه مورد استفاده قرار گیرند و بدین وسیله به توسعه سطح زیر کشت باغات گلابی در کشور کمک می‌کند.

5- Hosui

نوع ۱ دو مرحله اصلی دارد. هنگامیکه مقدار آب نسبی سلول<sup>۱</sup> از درصد تقریباً به ۷۵ درصد می‌رسد، فتوستتر بالقوه تحت تأثیر قرار نمی‌گیرد، اما کاهش هدایت روزنه‌ای منجر به کاهش فتوستتر، پایین رفتن غلظت  $\text{CO}_2$  در داخل برگ و در کلروپلاست می‌شود. اگر مقدار آب نسبی به پایین‌تر از ۷۵ درصد برسد، بازدارندگی متابولیکی برای فتوستتر بالقوه و سپس توقف فتوستتر رخ می‌دهد. پیشنهاد شده که این مرحله تنش واقعی است، که کاهش فتوستتر بالقوه بوسیله کاهش (RuBP) ستر ATP و متعاقب آن کاهش سترز ریبولوز بی‌فسفات (RUBP) بوجود می‌آید. عکس العمل نوع ۲ زمانی رخ می‌دهد که فتوستتر بالقوه تدریجاً از مقدار آب نسبی ۱۰۰ درصد تا ۷۵ درصد کاهش می‌یابد و میزان فتوستتر با بالا بردن میزان  $\text{CO}_2$  کمتر به مقدار اوایله (حالت بدون تنش) باز می‌گردد. در این مرحله کاهش هدایت روزنه‌ای منجر به کاهش  $\text{CO}_2$  داخل برگ و داخل کلروپلاست می‌شود و احتمالاً به نقطه جبران<sup>۲</sup> نمی‌رسد، در این مرحله هدایت روزنه‌ای به تدریج کم اهمیت‌تر می‌شود و محدودیت‌های متابولیکی با کاهش مقدار آب نسبی پراهمیت‌تر می‌شوند.

در تنش خشکی متوسط، محتوای آب برگ‌ها کاهش می‌یابد ولی در ظرفیت فتوستتری گیاه تغییری مشاهده نمی‌شود. در تنش خشکی شدید سلول‌ها تا حد زیادی آب خود را از دست می‌دهند و تا زمانی این امر ادامه پیدا می‌کند که فقط آب پیوندی باقی می‌ماند و در نتیجه خسارات شدیدی به سلول‌ها وارد شده و رشد و فتوستتر گیاه به شدت محدود می‌گردد. از نکات مهم مورد مطالعه در زمان کاهش آب در محصولات باغبانی، مطالعه عادات روزنه‌ای گیاهان در پاسخ به این شرایط است. زیرا اولین پاسخ گیاهان به تنش خشکی بسته شدن روزنه‌ها است (۲۲) و این شاخص به طور گسترده تحت تأثیر محتوای آب خاک<sup>۳</sup> قرار می‌گیرد. البته گیاهان مقاوم به خشکی وظایف روزنه‌ای خود را به نحوی تنظیم می‌نمایند که حتی در شرایط تنش نیز قادر به تثبیت مقداری دی‌اکسید کربن نیز هستند و در نتیجه راندمان فتوستتری خود را می‌توانند در حد بالا حفظ نمایند.

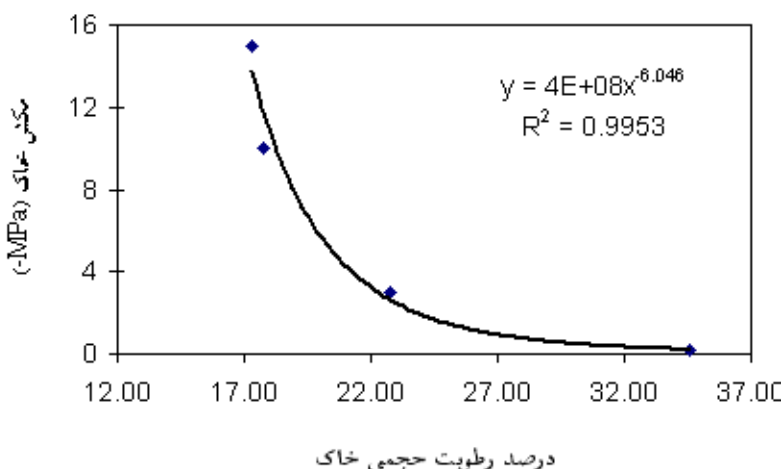
در مطالعه ای دانهال‌های یک‌ساله گیلاس تحت تأثیر سطوح مختلف تنش خشکی قرار گرفتند نتایج نشان داد که تنش خشکی میزان فتوستتر را کاهش داد و مقاومت روزنه‌ای و مقاومت مزووفیلی هر دو با هم در کاهش آن تأثیر داشتند (۶). وجود مقدار کافی آب برای حفظ فتوستتر، عملکرد و رشد ضروری است (۱۸). روش‌های مختلفی برای تعیین وضعیت آبی گیاه وجود دارد. از جمله این روش‌ها می‌توان به تعیین پتانسیل آب برگ و محتوای نسبی آب<sup>۴</sup> اشاره کرد. مقدار آب نسبی برگ در مقایسه با دیگر متغیرها وضعیت آب گیاه،

1- Relative Water Content= RWC

2- Compensation point

3- Soil Water Content (SWC)

4- Relative Water Content (RWC)



نمودار ۱ - منحنی رطوبتی خاک مورد استفاده، رابطه بین پتانسیل مکش خاک و درصد رطوبت حجمی موجود در خاک ( $R^2=0.995$ )

دانشگاه کردستان انجام گردید (نمودار ۱). منحنی رطوبتی خاک با استفاده از دستگاه Pressure Plate, ELE Co., England تهیه گردید.

#### طرح آزمایشی و اجرای آزمایش

تیمارهای تنش آبی، چهار ماه بعد از رشد دانهال ها در تیرماه اعمال شدند. این طرح به صورت طرح اسپلیت پلاٹ در قالب طرح بلوک های کاملاً تصادفی با سه عامل شامل، ژنوتیپ (سه ژنوتیپ)، تیمار آبیاری (چهار تیمار) و زمان (دو زمان اندازه گیری ۱- در زمانیکه تنش به اوج خود رسید و ۲- دو روز بعد اینکه گیاهان تنش دیده آبیاری شدند) و چهار تکرار اجرا شد. تیمارهای آبیاری بعنوان عامل اصلی و ژنوتیپ ها عوامل فرعی و زمان عامل فرعی فرعی بودند. لذا تجزیه داده ها به صورت طرح اسپلیت پلاٹ در مکان و زمان انجام گرفت.

تیمارهای تنش آبی اعمال شده به شرح زیر بودند.

- ۱- تیمار ۱ (T1): در این تیمار دانهالها هر روز طوری آبیاری شدند که آب زهکش از ته گلدان خارج می شد (تیمار شاهد).
- ۲- تیمار ۲ (T2): در این تیمار زمانیکه مقدار رطوبت خاک با توجه به منحنی رطوبتی خاک به  $4/0$  مگاپاسکال رسید، گلدانها آبیاری شدند.
- ۳- تیمار ۳ (T3): در این تیمار زمانیکه مقدار رطوبت خاک با توجه به منحنی رطوبتی خاک به  $8/0$  مگاپاسکال رسید، گلدانها آبیاری شدند.
- ۴- تیمار ۴ (T4): در این تیمار زمانیکه مقدار رطوبت خاک با توجه به منحنی رطوبتی خاک به  $2/1$  مگاپاسکال رسید، گلدانها آبیاری شدند.

#### مواد و روش ها

##### مواد گیاهی و محل اجرای تحقیق

به منظور شناسایی ژنوتیپ های وحشی گلابی مقاوم به خشکی، شهرستان های بانه و مریوان که دارای ژنوتیپ های وحشی هستند انتخاب شدند و طی چند مرحله بازدید به عمل آمد. در نهایت ده ژنوتیپ که در نقاط خشک رشد کرده بودند، انتخاب گردیدند. این ژنوتیپ ها جزو گلابی های گونه *Pyrus syriaca* تشخیص داده شده اند (۱). در پاییز سال ۱۳۸۵ میوه های این ژنوتیپ ها جمع آوری و به آزمایشگاه گروه علوم باگبانی دانشگاه کردستان منتقل گردیدند. بذور از گوشت میوه جدا گشته و برای رفع نیاز سرمایی به مدت ۷۰ روز در دمای  $2 \pm 5$  درجه سانتیگراد در داخل پرلیت مروطوب استراتیفیه شدند. در اسفندماه سال ۱۳۸۵ بذور در داخل گلدانهای ۲ لیتری کشت گردیدند. خاک مورد استفاده مخلوطی از یک قسمت ماسه، یک قسمت کود دامی کاملاً پوسیده و یک قسمت خاک باعچه بود. مخلوط خاکی دارای ۷۷ درصد شن، ۱۵ درصد سیلت، ۸ درصد شن و وزن ظاهری آن  $1/25$  گرم بر سانتیمتر مکعب بود. در نهایت دانهالها به مدت چهار ماه در گلخانه رشد نمودند. در طول رشد، دانهال ها هر روز آبیاری شدند.

بعضی از ژنوتیپ ها از رشد خیلی ضعیفی برخوردار بودند. با توجه به وضعیت ظاهری دانهالها، سه ژنوتیپ که دانهالهای آنها دارای رشد یکنواخت بودند، انتخاب شدند و آزمایشات تنش خشکی بر روی آنها اعمال گردیدند. ژنوتیپ های انتخاب شده شامل هرمی نازکه (Herminazke) و کویله (Kevilah) از بانه و ژنوتیپ لاسوره (Lasoreh) از مریوان بودند.

آزمایشات مربوط به تعیین برخی خصوصیات خاک و تعیین منحنی رطوبتی خاک نیز در آزمایشگاه خاکشناسی دانشکده کشاورزی

## نتایج و بحث

### تأثیر تنش آبی بر محتوای نسبی آب برگ (RWC)

مقدار RWC به طور بسیار معنی داری تحت تاثیر تیمار آبی و ژنوتیپ قرار گرفت (جدول ۱). همچنین مقدار RWC در دو زمان، یکی در هنگامی که تنش‌ها به حد تاثیر خود رسیدند (عنی مکش خاک به مقدار تعریف شده در تیمار‌های آبیاری رسید) و در مرحله دوم دو روز بعد از بازیابی (آبیاری مجدد) اندازه گیری شد. نتایج نشان داد که مقدار RWC در این دو زمان نیز متفاوت بود (جدول ۱). همچنین اثر متقابل ژنوتیپ و دو زمان اندازه گیری آن و تیمار آبیاری در زمان‌های مختلف آبیاری معنی دار بود (جدول ۱).

نتایج نشان داد که محتوای آب نسبی در ژنوتیپ‌های مختلف در دو زمان آبیاری متفاوت بود. همه ژنوتیپ‌ها بعد از ریکاوری مقدار RWC بیشتری نسبت به حالت تنش داشتند. اما در زمان ریکاوری بین تیمارهای مختلف تفاوت معنی داری مشاهده نشد. اما در زمان تنش بین ژنوتیپ‌ها تفاوت معنی دار وجود داشت و ژنوتیپ کویله در زمان تنش RWC بیشتری نسبت به دو ژنوتیپ دیگر داشت (نمودار ۲).

### تأثیر تنش آبی بر فتوستنتر

تیمار آبیاری تاثیر بسیار معنی داری بر سرعت فتوستنتر ژنوتیپ‌های مطالعه شده داشت (جدول ۲). همچنین زمان اندازه گیری سرعت فتوستنتر (عنی فتوستنتر در طول تنش و بعد از ریکاوری) نیز بسیار معنی دار بود.

مقایسه میانگین‌ها نشان داد که در طول تنش مقدار فتوستنتر کاهش یافت. بیشترین میزان فتوستنتر در تیمار شاهد، بعد از آن در تیمار ۰/۰-مگاپاسکال و حداقل سرعت فتوستنتر در تیمارهای آبیاری ۰/۸-مگاپاسکال و ۱/۲-مگاپاسکال بود که از نظر آماری در سطح یک درصد با هم تفاوت معنی داری نداشتند. بعد از ریکاوری مقدار فتوستنتر به حالت عادی برگشت و در همه تیمار دریک سطح قرار گرفت که از نظر آماری با هم تفاوت معنی داری نداشتند (نمودار ۳). میزان فتوستنتر ژنوتیپ‌های مختلف در زمان‌های مختلف (در طول تنش و ریکاوری متفاوت بود. و بیشترین میزان فتوستنتر بعد از ریکاوری و حداقل میزان فتوستنتر در طول تنش بود. اما ذکر این نکته ضروری است که بین ژنوتیپ‌های مختلف در طول تنش و بعد از ریکاوری تفاوت معنی داری مشاهده نشد (نمودار ۴).

اندازه گیری میزان هدایت روزنه‌ای، سرعت فتوستنتر و تعرق چهار پارامتر هدایت روزنه‌ای ( $g_s$ )، میزان فتوستنتر ( $P_n$ )، تعرق ( $E_t$ ) و  $\text{CO}_2$  زیر روزنه‌ای در دو مرحله در ساعت ۹–۱۱ صبح توسط دستگاه قابل حمل تحلیلگر اطاکن برگ (Leaf Chamber Analyser) (LCA-4)، ADC BioScientific Ltd., UK) گیری شدند. بار اول در زمانیکه تیمارهای تنشی به اوج خود رسیدند و دفعه دوم دو روز بعد از اینکه تیمارهای تنشی آبیاری شدند (عنی دو روز بعد از بازیابی) (Recovery) (عنی دو روز بعد از آبیاری در پایان دوره تنش)) اندازه گیری شدند. برای اندازه گیری این پارامترها از هر تکرار ۲ برگ کامل و بالغ هر دانه‌حال که در فاصله گره‌های ۴–۵ بود انتخاب و پارامترهای ذکر شده بر روی آن اندازه گیری شدند.

### اندازه گیری میزان نسبی آب برگ

برای اندازه گیری میزان نسبی آب برگ (RWC)، از هر گیاه یک برگ کامل از وسط شاخه منتخب گردید. و از هر برگ ۶ دیسک برگی به قطر ۱ سانتی‌متر جدا نمودیم (۹). پس از اندازه گیری وزن تر (FW) دیسک‌ها به کمک ترازوی دیجیتالی دقیق (Satrorious, Germany) (با دقت ۱/۰۰۰۰ گرم)، آنها را در داخل آب مقطر قرار داده و به مدت ۴ ساعت در داخل یخچال قراردادیم تا آماس نمایند. بعد از خارج کردن برگ‌ها از آب مقطر جهت حذف رطوبت اضافی سطح دیسک‌ها آنها را بین دو لایه کاغذ صافی خشک نموده و سپس ۴۸ وزن آماس آنها اندازه گیری شد (TW). بعد نمونه‌ها را به مدت ۴۸ ساعت در دمای ۷۰ درجه سانتی‌گراد در داخل آون حرارت دادیم تا خشک شوند و وزن خشک (DW) آنها اندازه گیری شد و سپس میزان نسبی آب برگ با رابطه زیر محاسبه شد (۱۷):

$$RWC = [(FW - DW)/(TW - DW)] \times 100$$

### اندازه گیری وزن خشک

پس از اتمام تنش‌های آبیاری، وزن خشک گیاهان اندازه گیری شد. برای این منظور گیاه کامل از خاک خارج شد و پس از شتشوی ریشه‌ها، در آون در دمای ۸۰ درجه سانتی‌گراد تا تثبیت وزن خشک، خشک گردیدند (۳). سپس وزن خشک نمونه‌ها اندازه گیری شد

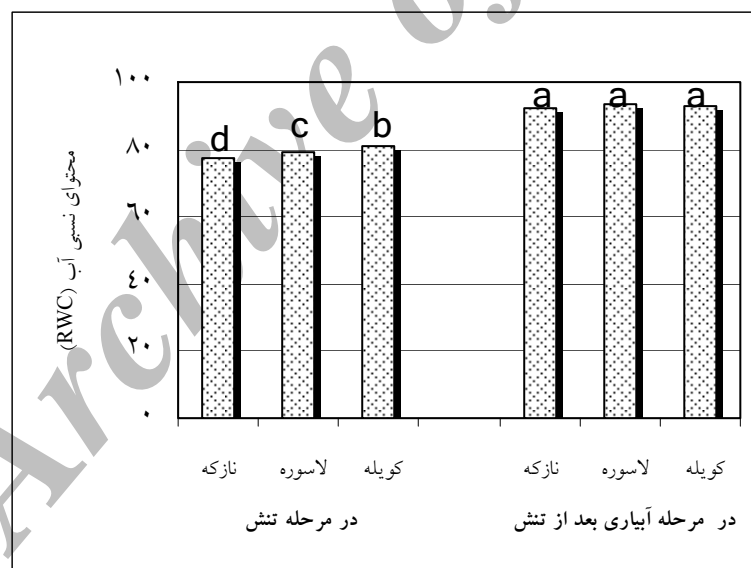
### جزئیات داده‌ها

داده‌های گردآوری شده با استفاده از نرم افزار SAS تجزیه گردیدند. مقایسه میانگین‌ها در سطح ۵ درصد با استفاده از آزمون چند دامنه‌ای دانکن انجام گردید. نمودارها نیز با استفاده از نرم آفزار EXCEL رسم گردیدند.

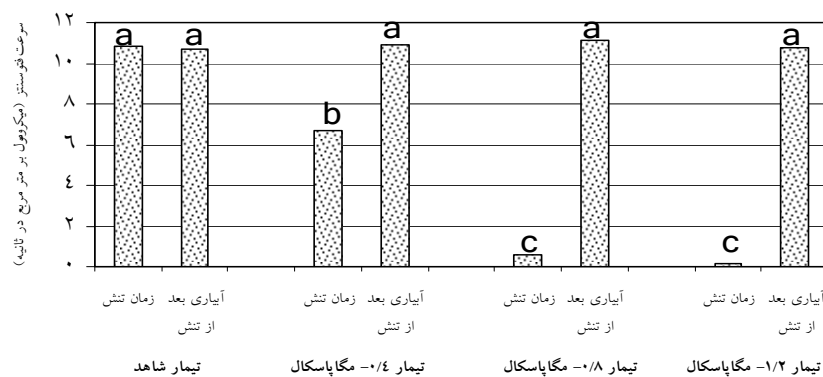
جدول ۱ - تجزیه واریانس برخی صفات در سه ژنوتیپ گلابی بومی استان کردستان تحت رژیم‌های مختلف آبیاری در دو زمان اندازه‌گیری (در زمان تنش و دو روز بعد از آبیاری مجدد)

میانگین مربوطات برای صفات						منابع تغییر
آزادی	درجه	RWC	فتوستز (A)	CO <sub>2</sub> زیر روزنگاری (C <sub>i</sub> )	تعرق (E)	هدایت روزنگاری (g <sub>s</sub> )
۳		۱۲۸۰/۴۶۳**	۱۵۲/۹۰**	۱۵۱۸۰/۷۵**	۱۹۱/۱۸**	۰/۰۷**
۹		۲/۶۸۱	۰/۸۲۱	۵۱/۲۹۷	۰/۸۶۴	۰/۰۰۰۳۵
۲		۳۳/۳۴۷**	۰/۰۷**	۵/۰۲**	۱/۲۲**	۰/۰۰۰۱۴**
۶		۳/۵۱۹**	۰/۰۳**	۶۶/۴۵**	۰/۰۲**	۰/۰۰۰۷۳**
۲۴		۲/۶۱۸	۰/۴۹	۱۰۵/۹۷	۱/۲۷	۰/۰۰۰۳۵
۱		۴۶۵۹/۴۴۶**	۹۵۵/۸۴**	۳۷۶۵۹/۴۵**	۶۶۷/۱۸**	۰/۳۳۷**
۳		۱۲۶۱/۵۰۲**	۱۶۷/۶۵**	۱۸۷۷۹/۶۱**	۱۸۸/۳۲**	۰/۰۵۴**
۹		۴/۶۶۲	۰/۳۴۰	۱۲۲/۸۷۴	۰/۶۴۶	۰/۰۰۰۹۵
۲		۱۷/۹۸۸*	۱/۹۱*	۳۹/۹۷**	۰/۱۴**	۰/۰۰۰۴۹**
۶		۵/۴۹۴**	۱/۱۵**	۸۷/۸۳**	۰/۰۹**	۰/۰۰۰۳۷**
۲۴		۴/۲۲۶	۰/۵۱۴	۹۶/۹۸۳	۱/۰۰۱	۰/۰۰۰۶۸
CV(%)		۱۲/۰۲	۸/۲۵	۴/۱۳	۸/۳۹	۷/۹۵

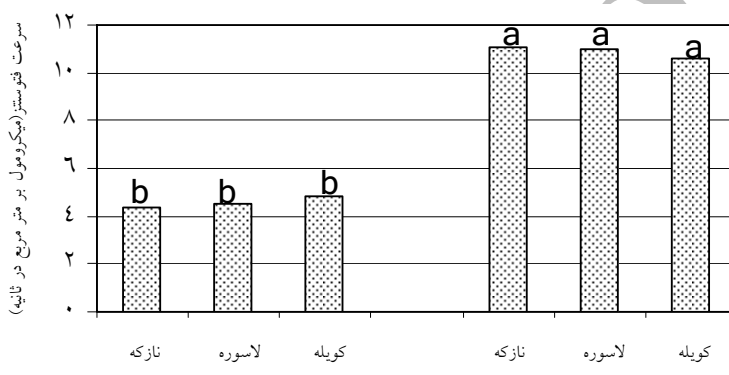
\*\* معنی دار در سطح ۱ درصد، \* معنی دار در سطح ۵٪ و ns غیر معنی دار



نمودار ۲ - تغییرات RWC در زمانهای مختلف اندازه‌گیری در ژنوتیپ‌های مختلف (حروف مشابه نشان بیانگر عدم اختلاف آماری می‌باشد)



نمودار ۳- تغییرات سرعت فتوسنتز در تیمارهای مختلف آبیاری در طول تنش و ریکاوری (حروف مشابه نشان بیانگر عدم اختلاف آماری می باشد)



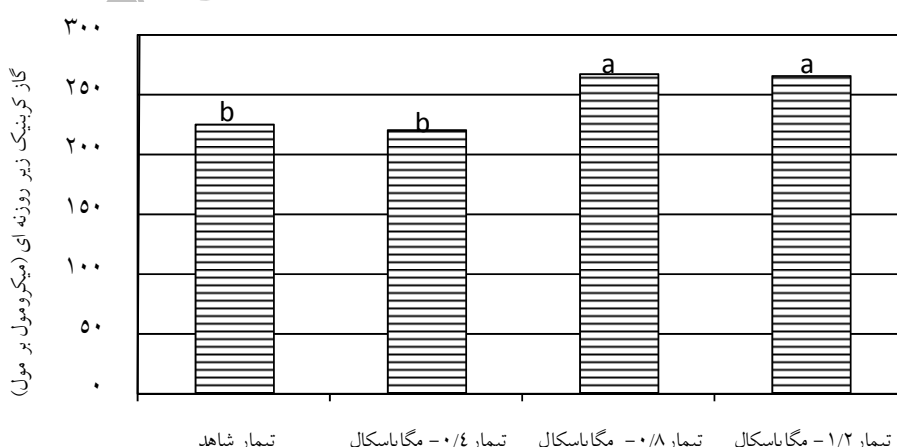
نمودار ۴- تغییرات سرعت فتوسنتز در ژنتیپهای مختلف در طول تنش و بعد از آبیاری مجدد (حروف مشابه نشان بیانگر عدم اختلاف آماری می باشد)

مختلف نشان داد که میزان  $\text{CO}_2$  زیر روزنها در تیمار آبیاری  $-0/8$  و  $-1/2$ - مگاپاسکال از نظر آماری اختلاف معنی دار نشان نداد و این مقدار بیشتر  $\text{CO}_2$  زیر روزنها در تیمار آبیاری شاهد و  $-0/4$ - مگاپاسکال بود. و مقدار  $\text{CO}_2$  زیر روزنها در تیمار شاهد و  $-0/4$ - مگاپاسکال اختلاف معنی داری نداشت (نمودار ۵).

#### تأثیر تنش آبی بر $\text{CO}_2$ زیر روزنهای

میزان  $\text{CO}_2$  زیر روزن تحت تأثیر رژیم آبیاری، زمان اندازه‌گیری (در طول تنش و بعد از ریکاوری) و اثر متقابل تیمار آبیاری و زمان قرار گرفت (جدول ۲).

مقایسه میانگینهای میزان  $\text{CO}_2$  زیر روزنها در شرایط آبیاری

نمودار ۵- غلظت  $\text{CO}_2$  زیر روزنای تحت تیمارهای مختلف آبیاری (حروف مشابه نشان بیانگر عدم اختلاف آماری می باشد)

معنی‌داری نداشتند (نمودار ۶).

#### تأثیر تنش آبی بر میزان هدایت روزنه‌ای (g)

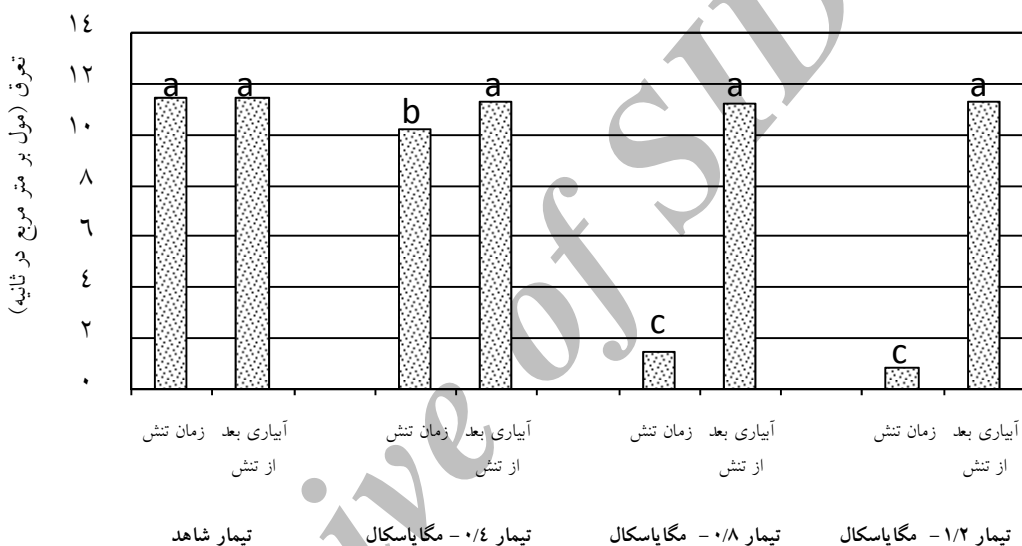
تیمار آبیاری، زمان اندازه‌گیری هدایت روزنه‌ای (در طول تنش و بعد از ریکاوری و اثر مقابل آنها) بر هدایت روزنه‌ای تأثیر بسیار معنی‌داری داشت (جدول ۲).

مقایسه میانگین‌ها نشان داد که هدایت روزنه‌ای در تیمار آبیاری شاهد در بیشترین حد و در تیمار آبیاری  $0.8/4$ - $0.8/2$ -مگاپاسکال در حداقل مقدار بود (نمودار ۷).

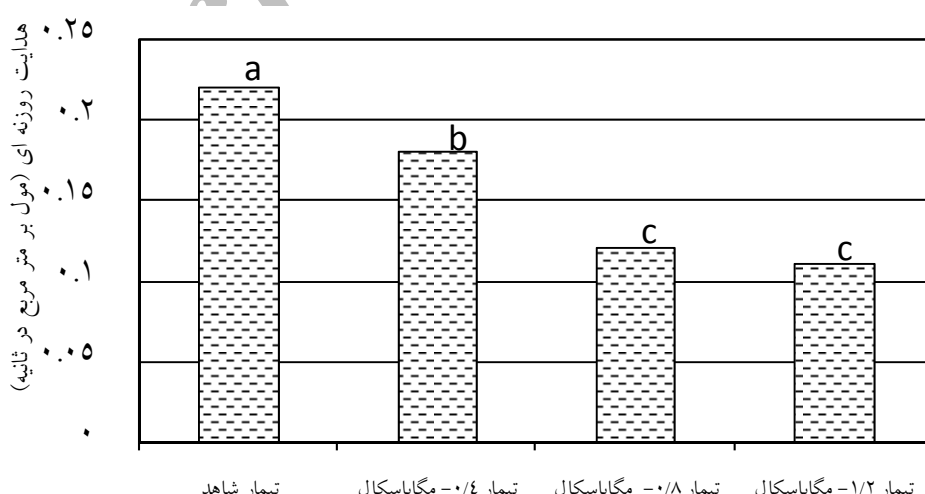
#### تأثیر تنش آبی بر میزان تعرق

میزان تعرق تحت تأثیر تیمار آبیاری قرار گرفت. همچنین زمان‌های مختلف (در طول تنش و بعد از ریکاوری) اندازه‌گیری بر میزان تعرق تأثیر بسیار معنی‌داری داشت (جدول ۲).

نتایج مقایسه میانگین‌ها تیمارهای در زمان‌های مختلف اندازه‌گیری نشان داد که بیشترین میزان تعرق در تیمار آبیاری شاهد و در تمامی تیمارها بعد از ریکاوری می‌باشد که از نظر آماری با هم اختلاف معنی‌داری نداشتند. و کمترین میزان تعرق در تیمار  $0.8/4$ - $0.8/2$ -مگاپاسکال بود که این دو تیمار آبیاری با هم اختلاف



نمودار ۶- مقایسه میزان تعرق در تیمارهای مختلف آبیاری در زمان تنش و بعد از ریکاوری (حروف مشابه نشان بیانگر عدم اختلاف آماری می‌باشد)



نمودار ۷- تغییرات مقدار هدایت روزنه‌ای مختلف آبیاری (حروف مشابه نشان بیانگر عدم اختلاف آماری می‌باشد)

$$RWC = \frac{90.53}{(1+e^{-A-0.744})}, R^2 = 0.88 \quad (2)$$

معادله یک رابطه بین RWC و فتوسترن را زمانیکه مقدار RWC بالا باشد بهتر بیان می کند. رابطه ۲ نیز رابطه بین RWC و فتوسترن را در مقادیر پایین RWC بهتر بیان میکند. بین هدایت روزنه ای و فتوسترن نیز رابطه خطی وجود داشت (نمودار ۹).  
 $R = 0.0192g_s + 0.0095, R^2 = 0.93$

رابطه بین  $CO_2$  زیر روزنه ای و فتوسترن به صورت زیر بود (نمودار ۱۰). با افزایش فتوسترن مقدار  $CO_2$  زیر روزنه ای کاهش یافت. انجام فتوسترن باعث مصرف  $CO_2$  داخل برگ می شود.

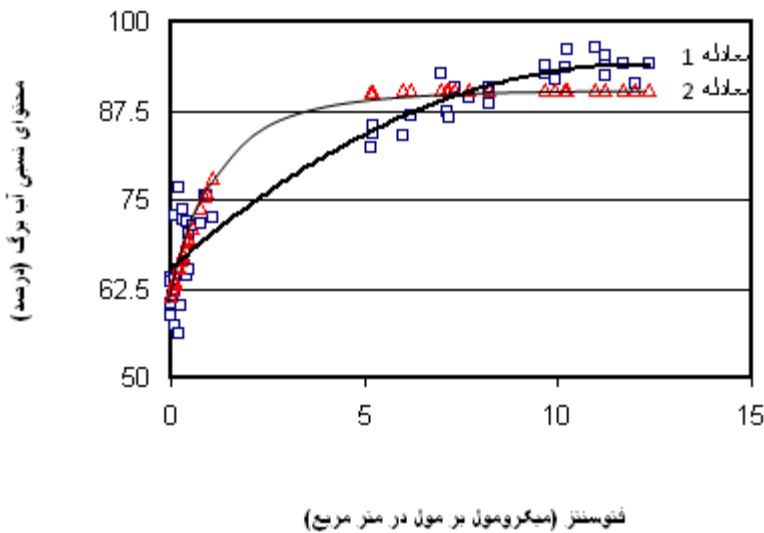
$$Ci = \frac{1}{0.009e^{(0.299A)}} + 209.59, R^2 = 0.95$$

در این آزمایش رفتار ژنتیپ های مختلف از نظر سرعت فتوسترن، تعرق،  $CO_2$  زیر روزنه ای و هدایت روزنه ای یکسان بود. و تغییرات این صفات بیشتر وابسته به تیمار آبیاری و زمان اندازه گیری صفات بود. یعنی تقریباً همه ژنتیپ ها عکس العمل مشاهده در صفات مذکور در شرایط روطوبتی نشان دادند. با توجه به این مطالعه در شرایط تنش میزان فتوسترن، تعرق و هدایت روزنه ای کاهش و میزان  $CO_2$  زیر روزنه ای افزایش می یابد.

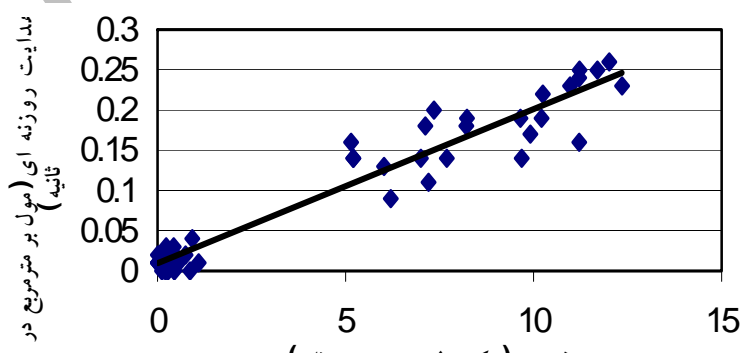
به منظور بررسی بیشتر روابط بین پارامترهای مختلف تbadلات گاز روابط موجود در بین آنها بوسیله برآش معادلات مناسب بررسی گردید.

برای رابطه بین RWC و فتوسترن دو معادله به شرح زیر می توان نوشت (نمودار ۸).

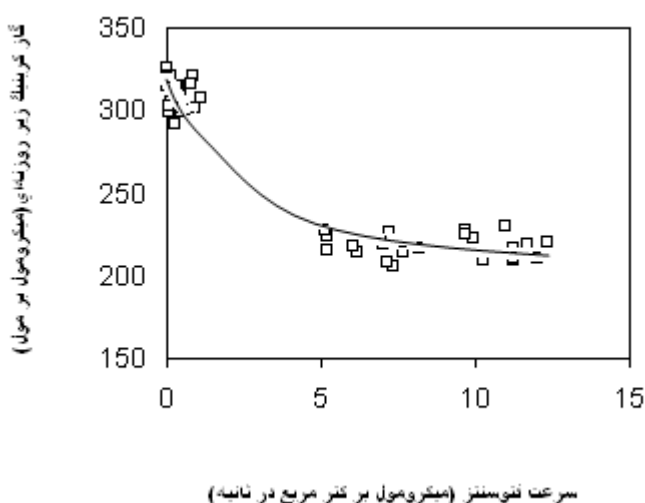
$$RWC = -0.1975A^2 + 4.7456A + 65.40, R^2 = 0.89 \quad (1)$$



نمودار ۸- رابطه بین محتوای نسبی آب و فتوسترن



نمودار ۹- رابطه بین فتوسترن و هدایت روزنه ای



نمودار ۱۰- رابطه بین سرعت فتوستز و غلظت گاز کربنیک زیر روزنه ای

تیمار  $1/2$ - مگاپاسکال مقدار وزن خشک کمتر از تیمار شاهد و  $-0/4$ - مگاپاسکال بود (نمودار ۱۱).

همانطوریکه نتایج نشان داد تنش آبی سبب کاهش محتوای نسبی آب (RWC)، فتوستز، هدایت روزنه ای و وزن خشک گردید. با افزایش تنش آبی مقدار فتوستز کاهش یافت و در تیمار  $-0/8$ -  $-0/2$ - مگاپاسکال فتوستز تقریباً به صفر رسید (نمودار ۳). بین فتوستز و هدایت روزنه ای ( $R^2 = 0.93$ )، تنش آبی در ژنوتیپ های مطالعه شده بر فتوستز و هدایت روزنه ای تاثیر داشت و به صورت موازی باعث کاهش در هر دو صفت شد. کاهش سرعت فتوستز در شرایط تنش آبی را می توان به کاهش هدایت روزنه ای یا محدودیت های غیر روزنه ای نسبت داد (۱۱). تغییرات موازی سرعت فتوستز و هدایت روزنه ای نشان می دهد که حفظ سرعت فتوستز را می توان به نگهداری هدایت روزنه ای نسبت داد. این نتایج در دیگر گونه ها نیز ثابت شده است. آزمایشات نشان دادند که میزان فتوستز دو رقم آوکادو بوسیله کاهش هدایت  $\text{CO}_2$  به داخل برگ، کاهش می یابد (۹).

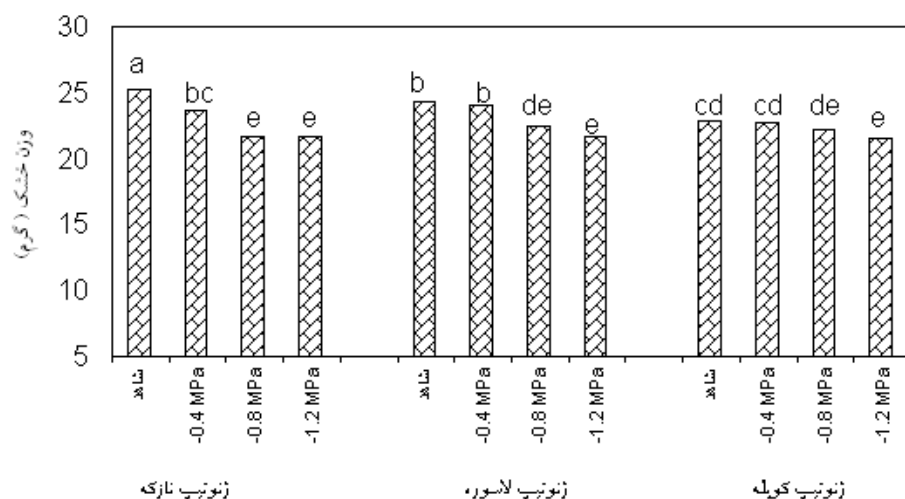
#### تأثیر تنش آبی بر وزن خشک

تنش آبی تاثیر بسیار معنی داری بر وزن خشک ژنوتیپ های مختلف داشت. همچنین مقدار وزن خشک در ژنوتیپ های مختلف نیز متفاوت بود (جدول ۲). در تیمار شاهد بیشترین وزن خشک به ترتیب متعلق به ژنوتیپ نازکه، لاسوره و کویله بود. در ژنوتیپ نازکه تنش آبی سبب کاهش بسیار معنی دار وزن خشک گیاه شد و مقدار وزن خشک در تیمار آبیاری  $-0/4$ - مگاپاسکال کمتر از تیمار شاهد بود. در این ژنوتیپ مقدار وزن خشک در تیمار آبیاری  $-0/8$ -  $-0/2$ - مگاپاسکال برابر و کمتر از تیمار  $-0/4$ - مگاپاسکال بود. در ژنوتیپ لاسوره مقدار وزن خشک در تیمار شاهد و تیمار  $-0/4$ - مگاپاسکال از نظر آماری در یک سطح قرار گرفت. همچنین مقدار وزن خشک در دو تیمار  $-0/8$ -  $-0/2$ - مگاپاسکال نیز از آماری در یک سطح قرار گرفت و کمتر از تیمار شاهد و  $-0/4$ - مگاپاسکال بود. مقدار وزن خشک در ژنوتیپ کویله کمتر تحت تاثیر تیمار آبیاری قرار گرفت. بطوریکه مقدار وزن خشک در تیمارهای شاهد،  $-0/4$ -  $-0/8$ - مگاپاسکال از نظر آماری با هم تفاوت معنی داری نداشتند. اما در

جدول ۲- تجزیه واریانس وزن خشک سه ژنوتیپ گلابی در شرایط تنش آبی

منابع تغییر	درجه آزادی	مجموع مریعات	میانگین مریعات
تیمار آبیاری	۳	۴۷/۶	$15/8$
خطا	۱۲	۸/۴	$-0/7$
ژنوتیپ	۲	۵/۸	$2/9$
تیمار آبیاری $\times$ ژنوتیپ	۶	۱۱	$1/8$
خطا	۲۴	۹/۱	$-0/38$
$CV(\%) = 2.69$			

\*\*- از نظر اماری در سطح ۱ درصد معنی دار است.



نمودار ۱۱- تغییرات وزن خشک در سه ژتوتیپ گلابی در تیمارهای مختلف آبی (حروف مشابه نشان بیانگر عدم اختلاف آماری می باشد)

می باشد. رشد سلولها زمانی انجام می شود که آب کافی به منظور ایجاد تعادل بین پتانسیل فشار سلول و فشار منفی اعمال شده توسط مقاومت در برابر کشش دیواره وجود داشته باشد. بنابراین رشد یکی از حساسترین فرایندهای گیاهی نسبت به کاهش آب است. گزارشاتی وجود دارد که نشان می دهد رشد شاخساره گلابی زمانی متوقف شد که پتانسیل آب برگ به ترتیب به  $-0.5$  و  $-0.2$  مگاپاسکال قبل از طلوع آفتاب و ظهر بررسد (۷). لذا ژتوتیپ کویله به دلیل داشتن مقدار آب بالاتر در زمان خشکی، مقدار وزن خشک آن کمتر تحت تاثیر قرار گرفت.

به طور کلی با استفاده از نتایج این تحقیق می توان گفت که با توجه به اینکه ژتوتیپ کویله در طول تنفس محتوای آب نسبی بیشتری داشت و مقدار وزن خشک آن کمتر تحت تاثیر تنفس آبی قرار گرفت، تحمل بیشتری نسبت به شرایط خشک دارد.

همچنین رابطه بسیار نزدیکی بین فتوستنتز و RWC وجود دارد ( $R^2=0.89$ ) (نمودار ۸). با کاهش RWC مقدار فتوستنت نیز کاهش می یابد. کاملاً مشخص است که تنفس آبی سبب کاهش RWC می شود. RWC یک شاخص خوب از تعادل وضعیت آبی بین گیاه و خاک می باشد در مقادیر پایین RWC (کمتر از ۹۰ درصد) محدودیت های مزووفیلی انتقال  $\text{CO}_2$  سبب کاهش فتوستنت می گردد (۲۳). آبیاری مجدد بعد از اعمال تنفس سبب شد که همه صفات مطالعه شده به شرایط قبل از تنفس برگشت پیدا کنند (نمودار ۲ الی ۶) و این نشان می دهد که ژتوتیپ های گلابی قابلیت برگشت به شرایط قبل از تنفس را در دامنه رطوبت مطالعه شده در خاک را دارند.

همانطوریکه مشاهده گردید مقدار وزن خشک در ژتوتیپ کویله کمتر تحت تاثیر تنفس خشکی قرار گرفت (نمودار ۱۱). همچنین محتوای آب نسبی در ژتوتیپ کویله در شرایط تنفس خشکی بالاتر از ژتوتیپ های دیگر بود (نمودار ۲). توسعه سلولی تحت تاثیر جذب آب

## منابع

- ۱- خاتم ساز م. ۱۳۷۱. فلور ایران: شماره ۶ - تیره گل سرخ (Rosaceae). انتشارات موسسه تحقیقات جنگلها و مراتع. تهران
- 2- Angelopoulos K., Dicio B., and Xiloyannis C. 1996. Inhibition of photosynthesis in olive trees (*Olea europaea L.*) during water stress and rewetting. Journal of Experimental Botany. 47: 1093-1100.
- 3- Atkinson C.J., Pollicarpo M., Webster A.D., and Kuden A.M. 1999. Drought tolerance of apple rootstocks: Production and partitioning of Dry Matter. Plant and Soil. 206: 223-235.
- 4- Boyer J.S. 1996. Advances in drought tolerance in plants. Adv. Agron. 56: 187-218.
- 5- Caspary H.W., Behboudian M.H., and Chalmers D.J. 1994. Water use, growth, and fruit yield of 'Hosui' asian pear under deficit irrigation. Journal of the American Society for Horticultural Science. 119: 383-388.
- 6- Centritto M. 2005. Photosynthetic limitations and carbon partitioning in cherry in response to water deficit and elevated [CO<sub>2</sub>]. Agriculture, Ecosystems & Environment. 106: 233-242.
- 7- Chalmers D.J. 1989. A physiological examination of regulated deficit irrigation. New Zealand Journal of Agricultural Science. 23: 44-48.

- 8- Chandel J.S., and Chauhan J.S. 1993. Accumulation of proline, ABA and carbohydrate contents in Starking Delicious apple on clonal rootstocks and their correlation with drought resistance. *Progressive Horticulture*. 23: 5-11.
- 9- Chartzoulakis K., Patakas A., Kofidis G., Bosabalidis A., and Nastou A. 2002. Water stress affects leaf anatomy, gas exchange, water relation and growth of two avocado cultivars. *Scientia Hortoculturae*. 95: 39-50.
- 10- Cornic G. 2000. Drought stress inhibits photosynthesis by decreased stomatal aperture – not by affecting ATP synthesis. *TIBS*. 5:187-188.
- 11- Cornic G., and Massacci A. 1996. Leaf photosynthesis under drought stress, p. 347–366. In: N.R. Baker (ed.). *Advances in Photosynthesis: Photosynthesis and the Environment*.Kluwer Academic Publishers, Dordrecht.
- 12- Delauney A.J., and Verma D.P.S. 1993. Proline biosynthesis and osmoregulation in plants. *Plant J*. 4: 215-223.
- 13- Diaz-Perez J.C., Shackel K.A., and Sutter E.G. 1995. Relative water content and water potential of tissue-cultured apple shoots under water deficits. *Journal of Experimental Botany*. 46: 111-118.
- 14- Fernandez J.E., and Moreno F. 1999. Water use by the olive tree, p. 101-162. In: M.B. Kirkham (ed.). *Water Use in Crop Production*. The Haworth Press, New York.
- 15- Fillella I., Llucia J., Pinol J., and Penuelas J. 1998. Leaf gas exchange and Fluorescence of *Phillyrea latifolia*, *Pistacia lentiscus* and *Qurcus ilex* saplings in severe drought and high temprature conditions. *Environmental and Experimental Botany*. 39: 213-220.
- 16- Giorio P., Sorrentino G., and D'Andria R. 1999. Stomatal behaviour, leaf water status and photosynthetic response in field-grown olive trees under water deficit. *Environmental and Experimental Botany*. 42: 95-104.
- 17- Gonzalez L., and Gonzalez-Vilar M. 2003. Determination of relative water content, p. 207-212. In: J. Manuel and R. Goger (eds.). *Handbook of plant ecophysiology techniques*. Kluwer Academic Publishers, London.
- 18- Jones H.G. 1997. New concepts in plant water relations: Relative to horticultural production. *Acta Horticulturae*. 449: 371-378.
- 19- Lawlor D.W. 2002. Limitation to photosynthesis in Water-stressed leaves: Stomata vs. metabolism and the role of ATP. *Annals of Botany*. 89: 871-885.
- 20- Lawlor D.W., and Cornic G. 2002. Photosynthetic carbon assimilation and associated metabolism in relation to water deficits in higher plants. *Plant, Cell and Environment*. 25: 275-294.
- 21- Ranjbarfardooei A., Samson R., Van Damme P., and Lemeur R. 2000. Effects of osmotic drought stress induced by polyethylene glycol on pigment content and photosynthetic gas exchange of *Pistacia khinjuk* and *P. mutica*. *Photocynthetica*. 38: 443-447.
- 22- Rouhi V., Samson R., Lemeur R., and Van Damme P. 2007. Photosynthesis gas exchange characteristics in three different almond species during drought stress and subsequent recovery. *Environmental and Experimental Botany*. 59: 117-129.
- 23- Sándor D., István M., Judit P., Ágota C., Réka T., and Márta M. 2006. Effects of drought on photosynthetic parameters and heat stability of PSII in wheat and in Aegilops species originating from dry habitats. *Acta Biologica Szegediensis*. 50: 11-17.
- 24- Sinclair T.R., and Ludlow M.M. 1985. Who taught plants the thermodynamics of water? The unfulfilled potential of plant water potential. *Aust. J. Plant Physiol*. 12: 213-217.
- 25- Yakushiji H., Morinage K., and Nonami H. 1998. sugar accumulation and partitioning in satsuma mandarin (*Citrus unshiu* Marc.) trees tissues and fruit in response to drought stress .*J. Amer. Soc. Horti. Sci.* 123: 719-726.